

**Sistemi Dinamici**  
**Corso di Laurea in Matematica**  
**Compito del 29-01-2025**

**Esercizio 1. (10 punti)** Disegnare il ritratto di fase del sistema

$$\begin{cases} \dot{x} = 4y \\ \dot{y} = (2 - x - y)(2x - y) \end{cases}$$

considerando in particolare l'eventuale esistenza di orbite periodiche.

**Esercizio 2. (10 punti)** Si consideri il sistema

$$\begin{cases} \dot{x} = y^2 \\ \dot{y} = 2 - 2x - \mu y^2 \end{cases}$$

- (a) Per  $\mu = 0$ , si disegni il ritratto di fase e si trovi, se esiste, un  $y_0 \in \mathbb{R}$  per cui  $\omega(0, y_0) = \{(1, 0)\}$ .
- (b) Per  $\mu = 1$ , per il punto  $(0, y_0)$  trovato al punto (a), determinare se esiste  $\omega(0, y_0)$ . Discutere l'esistenza di un  $y_1 \in \mathbb{R}$  per cui  $\omega(0, y_1) = \{(1, 0)\}$ .

**Esercizio 3. (10 punti)** Si consideri la famiglia di funzioni continue  $f_\lambda : [0, 1] \rightarrow [0, 1]$  definita da

$$f_\lambda(x) = \begin{cases} \lambda x, & x \in J_1 = [0, \frac{1}{4}] \\ \lambda (\frac{1}{2} - x), & x \in J_2 = [\frac{1}{4}, \frac{1}{2}] \\ 3(x - \frac{1}{2}), & x \in J_3 = [\frac{1}{2}, \frac{3}{4}] \\ 3(1 - x), & x \in J_4 = [\frac{3}{4}, 1] \end{cases}$$

al variare di  $\lambda \in (0, 4]$ .

- (a) Costruire l' $f_\lambda$ -grafo di  $\mathcal{J} = \{J_1, J_2, J_3, J_4\}$  al variare di  $\lambda$ .
- (b) Determinare esistenza e stabilità dei punti fissi al variare di  $\lambda$ . Per quali valori di  $\lambda$  ci sono punti periodici di periodo minimo 2 in  $J_3$  o in  $J_4$ ?
- (c) Per  $\lambda = 3$ , determinare l'entropia topologica di  $f_\lambda$ .

## ESERCIZIO

1

$$\begin{cases} \dot{x} = 4y \\ \dot{y} = (2-x-y)(2x-y) \end{cases}$$

Iniziamo individuando i punti fissi del sistema. Si ha

$$\begin{cases} 4y = 0 \\ (2-x-y)(2x-y) = 0 \end{cases} \iff \begin{cases} y = 0 \\ x \in \{0, 2\} \end{cases}$$

quindi i punti fissi sono

$$\underline{P_1 = (0, 0) \quad , \quad P_2 = (2, 0)}$$

Per caratterizzare la stabilità, usiamo la matrice jacobiana del campo  $F$

$$JF(x, y) = \begin{pmatrix} 0 & 4 \\ 4-4x-y & -2-x+2y \end{pmatrix}$$

-  $JF(P_1) = JF(0, 0) = \begin{pmatrix} 0 & 4 \\ 4 & -2 \end{pmatrix}$ . Poiché  $\det JF(P_1) = -16 < 0$ , si ha che

$P_1$  è un punto iperbolico instabile di tipo sella. Inoltre gli autovalori di

$JF(P_1)$  sono  $\lambda_1 = -1 - \sqrt{17}$ ,  $\lambda_2 = -1 + \sqrt{17}$ , con autovettori rispettivi

$$v_1 = \begin{pmatrix} 1 \\ \frac{\lambda_1}{4} \end{pmatrix}, \quad v_2 = \begin{pmatrix} 1 \\ \frac{\lambda_2}{4} \end{pmatrix}$$

-  $JF(P_2) = JF(2, 0) = \begin{pmatrix} 0 & 4 \\ -4 & -4 \end{pmatrix}$ . Poiché  $\det JF(P_2) = 16 > 0$  e

$\text{tr } JF(P_2) = -4 < 0$ , si ha  $(\text{tr } JF(P_2))^2 - 4 \det JF(P_2) < 0$ , quindi

$P_2$  è un punto iperbolico asintoticamente stabile di tipo fuoco.

Invarianti insieme. Non ci sono invarianti ovvi, si può procedere per verificare se ci fossero rette invarianti della forma  $ax+by=c$  con  $a, b \neq 0$ .

Ponendo  $I(x,y) = ax+by$  si ha

$$\begin{aligned} \dot{I} \Big|_{\{I=c\}}(x,y) &= a \dot{x} + b \dot{y} \Big|_{ax+by=c} = 4ay + b(z-x-y)(z-x-y) \Big|_{y=\frac{c-ax}{b}} = \\ &= \frac{1}{b} \left( 4ac - 4a^2x + (z-x)b - c + ax \right) (zbx - c + ax) \\ &= \frac{1}{b} \left( x^2(a^2 + ab - zb^2) + x(-4a^2 + ab^2 - bc + zcb + zac) + 4ac - zbc \right) \end{aligned}$$

$$\text{Dunque } \dot{I} \Big|_{\{I=c\}} \equiv 0 \iff \begin{cases} a^2 + ab - zb^2 = 0 \\ -4a^2 + ab^2 - bc + zcb + zac = 0 \\ 4ac - zbc = 0 \end{cases}$$

e il sistema non ammette soluzioni con  $a, b \neq 0$ .

Quindi non esistono rette invarianti

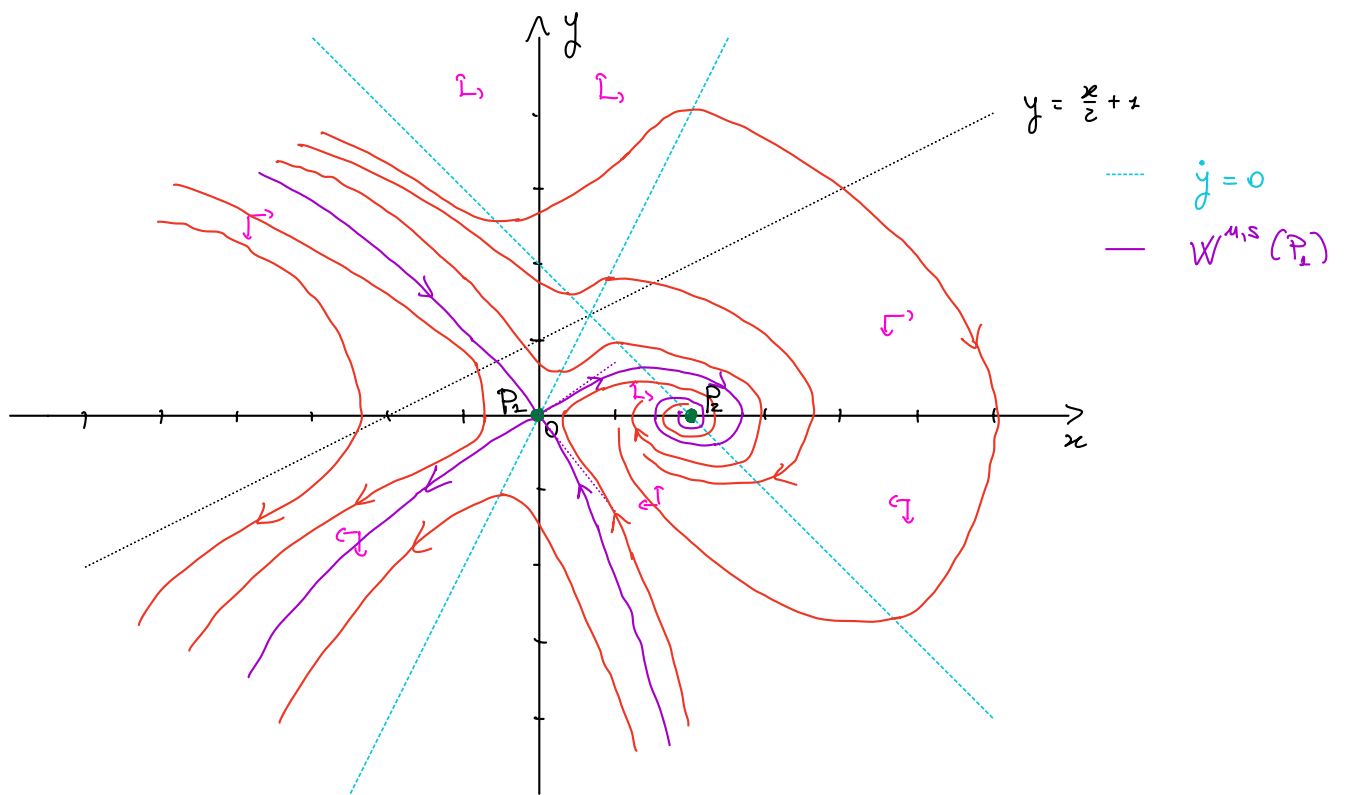
Simmetrie. Non ci sono evidenti simmetrie

Orbite periodiche. Per la teoria dell'indice di Poincaré, se esiste un'orbita periodica deve racchiudere il punto  $P_2$  e non  $P_1$ .

Inoltre  $\text{div}(F)(x,y) = \text{tr} JF(x,y) = -2 - x - zy$ . Quindi per il criterio di Bendixson-Dulac non possono esistere orbite periodiche interamente contenute in  $\{y > \frac{x}{z} + 1\}$  o in  $\{y < \frac{x}{z} + 1\}$ .

Ritratto di fase. Utilizzando il segno del campo possiamo disegnare il ritratto di fase.

In particolare, dimostreremo che non possono esistere orbite periodiche, perché dovendo racchiudere  $P_2$ , un'eventuale orbita periodica passerebbe sotto la varietà instabile di  $P_2$ , e dunque sarebbe interamente contenuta in  $\{y < \frac{x}{z} + 1\}$ .



Osserviamo che il ramo di  $W^u(P_1)$  nel semi-piano  $\{x > 0\}$  deve necessariamente convergere verso  $P_2$ . Per determinare questa proprietà è fondamentale usare l'esistenza del ramo di  $W^s(P_1)$  in  $\{x > 0\}$ . La posizione relativa tra questi due rami non si può invertire, cioè  $W^s(P_1)$  non può essere più interna di  $W^u(P_1)$ .

ESERCIZIO

2

$$\begin{cases} \dot{x} = y^2 \\ \dot{y} = 2 - 2x - \mu y^2 \end{cases}$$

(a)

Per  $\mu = 0$  il sistema è hamiltoniano con

$$H(x, y) = \frac{1}{3} y^3 + x^2 - 2x$$

e ha un solo punto fisso in  $P = (1, 0)$ . Il punto  $P$  è non iperbolico, e per disegnarne il ritratto di fase usiamo gli insiemi di livello  $\{H(x, y) = c\}$ , che sono insiemi invarianti,

Inanzitutto  $H(P) = H(1, 0) = -1$ , e

$$H(x,y) = -1 \Leftrightarrow x^2 - 2x + 1 + \frac{1}{3}y^3 = 0$$

le cui soluzioni sono rappresentate dalle curve  $x^+(y) = 1 + \sqrt{-\frac{1}{3}y^3}$  e  $x^-(y) = 1 - \sqrt{-\frac{1}{3}y^3}$ , che esistono per  $y \leq 0$ . Osserviamo che  $x^+(0) = x^-(0) = 1$  e  $\lim_{y \rightarrow 0^-} \frac{d}{dy} x^\pm(y) = \lim_{y \rightarrow 0^-} \left[ \mp \frac{\sqrt{3}}{2} |y|^{\frac{1}{2}} \right] = 0$ .

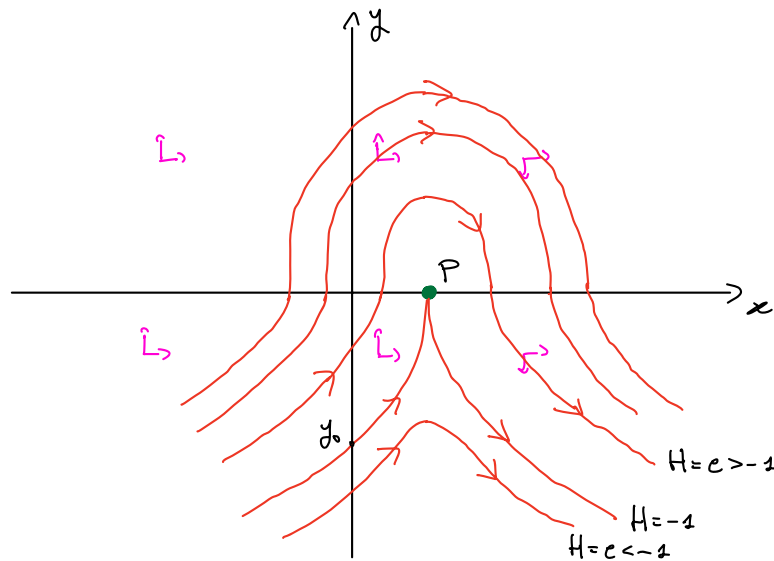
Per  $c \neq -1$ , si ha

$$H(x,y) = c \Leftrightarrow x_c^\pm(y) = 1 \pm \sqrt{1+c - \frac{1}{3}y^3}$$

che esistono per  $y \leq [3(1+c)]^{\frac{2}{3}}$ , e

$$\lim_{y \rightarrow ([3(1+c)]^{\frac{2}{3}})^-} \frac{d}{dy} x_c^\pm(y) = \lim_{y \rightarrow ([3(1+c)]^{\frac{2}{3}})^-} \left[ \pm \frac{1+c - \frac{1}{3}y^3}{2}^{-\frac{1}{2}} (-y^2) \right] = \mp \infty$$

Si osserva dunque il seguente ritratto di fase, che è simmetrico rispetto alla retta  $x=1$ .



Essendo il sistema hamiltoniano, per determinare  $y_0 \in \mathbb{R}$  t.c.  $\omega(0, y_0) = \{P\}$  bisogna trovare la soluzione di  $H(0, y_0) = H(1, 0)$ , ossia di

$$\frac{1}{3}y^3 + x^2 - 2x \Big|_{x=0} = -1$$

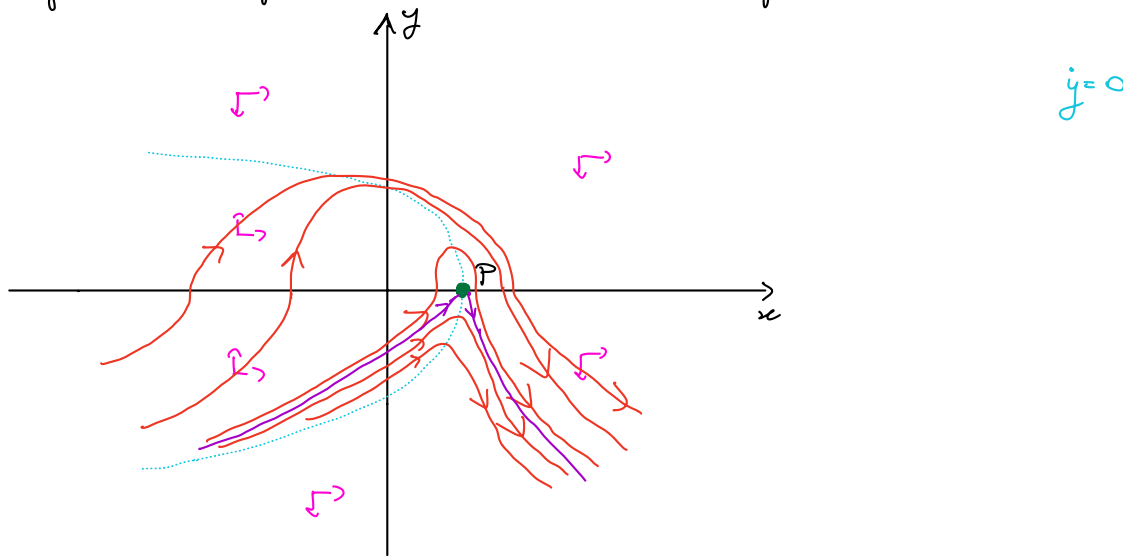
da cui  $y_0 = (-3)^{\frac{2}{3}}$ .

(b)

Per  $\mu=1$ , il sistema continua ad avere un unico punto fisso in  $P=(1,0)$ . Il sistema non è più hamiltoniano e per  $H(x,y) = \frac{1}{3}y^3 + x^2 - 2x$  si trova  $\dot{H}(x,y) = -y^4$ , quindi  $H$  è decrescente lungo le orbite.

Di conseguenza  $t \mapsto H(x(t; (x_0, y_0)), y(t; (x_0, y_0)))$  è decrescente (indichiamo con  $(x(t; (x_0, y_0)), y(t; (x_0, y_0)))$  la soluzione del sistema con condizioni iniziali  $(x_0, y_0)$ ) e  $H(x(0; (x_0, y_0)), y(0; (x_0, y_0))) = H(x_0, y_0) = -1 = H(P)$ . Usando il risultato di fase del punto (a), in cui sono indicati gli insiemi di livello di  $H$ , e che  $\dot{x} > 0 \ \forall y > 0$ , troviamo che  $x(t; (x_0, y_0)) \rightarrow +\infty$  e  $y(t; (x_0, y_0)) \rightarrow +\infty$ . Quindi, in questo caso,  $\omega(x_0, y_0)$  non esiste.

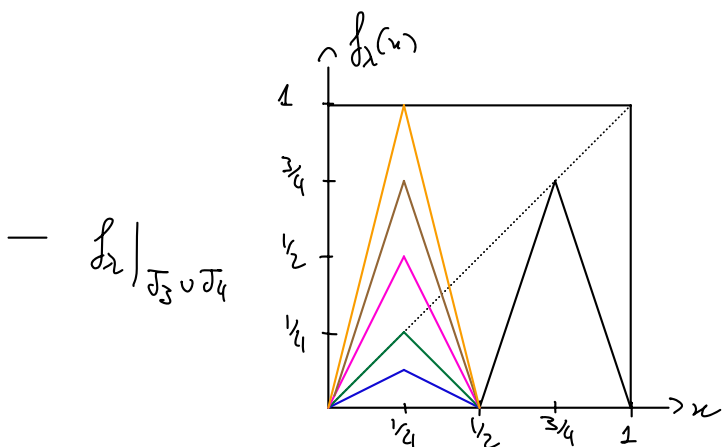
Usando il segno del campo, studiamo il ritratto di fase.



Poiché  $\dot{x} \geq 0 \ \forall (x, y)$ , e  $\dot{x} = 0 \iff y = 0$ , si ottiene che  $\forall u \in \mathbb{R} \exists! y(u) \in \mathbb{R} \text{ t.c. } \varphi_t(0, y(u)) = (1, u)$  per qualche  $t > 0$ . Quindi  $\exists! y_u = y(\omega)$  t.c.  $\omega(x_0, y_0) = \{P\}$ .

ESERCIZIO  
3

$$f_\lambda(x) = \begin{cases} \lambda x, & \text{se } x \in J_1 = [0, \frac{1}{4}] \\ \lambda(\frac{1}{2} - x), & \text{se } x \in J_2 = [\frac{1}{4}, \frac{1}{2}] \\ 3(x - \frac{1}{2}), & \text{se } x \in J_3 = [\frac{1}{2}, \frac{3}{4}] \\ 3(1 - x), & \text{se } x \in J_4 = [\frac{3}{4}, 1] \end{cases} \quad \text{con } \lambda \in (0, 4]$$



$\lambda \in (0, 1)$

$\lambda = 1$

$\lambda = 2$

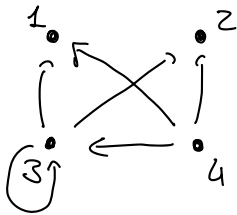
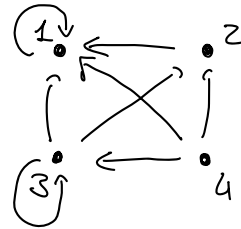
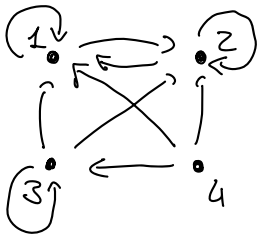
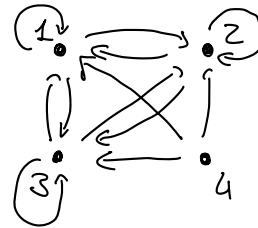
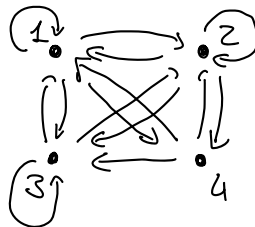
$\lambda = 3$

$\lambda = 4$

$f_\lambda|_{J_1 \cup J_2}$

$f_\lambda|_{J_3 \cup J_4}$

(a)

L'  $f_\lambda$ -graf di  $\mathcal{T}$  dipende da  $\lambda$  solo per le immagini di  $\mathcal{J}_2$  e  $\mathcal{J}_4$  $\lambda \in (0, 1)$  $\lambda \in [1, 2)$  $\lambda \in [2, 3)$  $\lambda \in [3, 4)$  $\lambda = 4$ 

(b)

In  $\mathcal{J}_3 \cup \mathcal{J}_4$ , abbiamo un punto fisso in  $x_2 = \frac{3}{4} \forall \lambda \in (0, 4]$ In  $\mathcal{J}_2 \cup \mathcal{J}_4$  si ha questa situazione:

- se  $\lambda \in (0, 1)$ , c'è un solo punto fisso in  $x_0 = 0$ ;
- se  $\lambda = 1$ , tutti i punti di  $\mathcal{J}_2 = [0, \frac{1}{4}]$  sono fissi e sono stabili ma non attrattivi;
- se  $\lambda \in (1, 4]$ , ci sono due punti fissi  $x_0 = 0$  e  $x_2 = \frac{\lambda}{2(\lambda+1)} \in (\frac{1}{4}, \frac{2}{5}]$

Per quanto riguarda la stabilità:

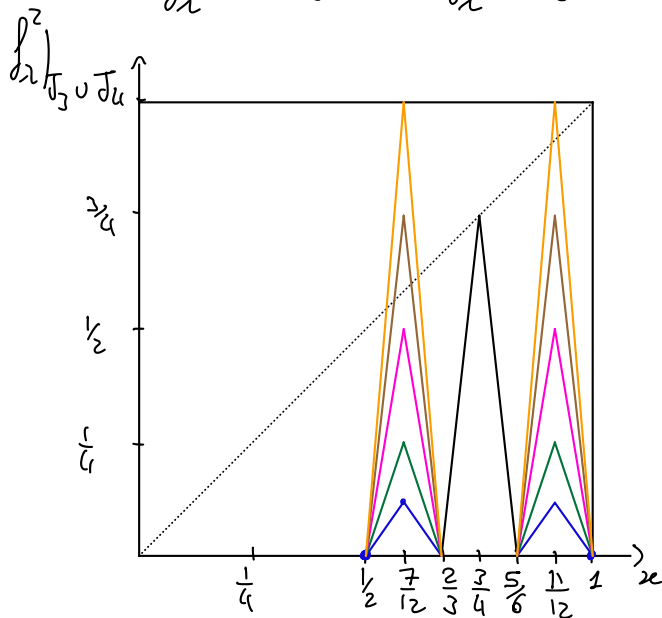
- $x_0 = 0$ . Si ha  $f'_2(0) = \lambda$ , quindi  $x_0$  è attrattivo per  $\lambda \in (0, 1)$ , e repulsivo per  $\lambda \in (1, 4]$ .
- $x_2 = \frac{\lambda}{2(\lambda+1)}$  per  $\lambda \in (1, 4]$ . Si ha  $f'_2(x_2) = -\lambda$ , quindi  $x_2$  è repulsivo.
- $x_2 = \frac{3}{4}$ . Si ha  $(f'_2)^+(x_2) = -3$ ,  $(f'_2)^-(x_2) = 3$ , quindi  $x_2$  è repulsivo.

Per valutare l'esistenza di punti periodici su periodo minimo  $\geq$  in  $J_3 \cup J_4$ , disegniamo il grafico su  $f_\lambda^2$  su  $J_3 \cup J_4$ .

Si ha

$$f_\lambda^2\left(\left[\frac{1}{2}, \frac{7}{12}\right]\right) = f_\lambda^2\left(\left[\frac{11}{12}, 1\right]\right) = \left[0, \frac{1}{4}\right]$$

$$f_\lambda^2\left(\left[\frac{7}{12}, \frac{2}{3}\right]\right) = f_\lambda^2\left(\left[\frac{5}{6}, \frac{11}{12}\right]\right) = \left[\frac{1}{4}, \frac{1}{2}\right]$$



$$\lambda \in (0, 1)$$

$$\lambda = 1$$

$$\lambda = 2$$

$$\lambda = 3$$

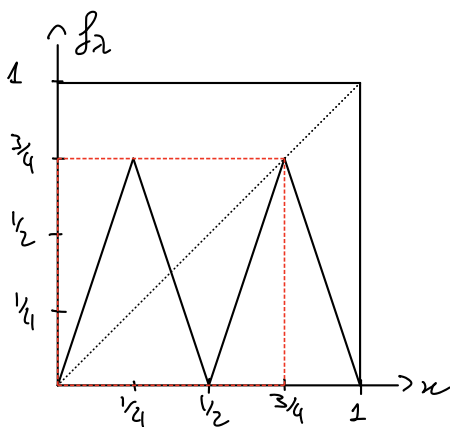
$$\lambda = 4$$

Quindi c'è un punto periodico di periodo minimo  $\geq$  in  $J_3$  se e solo se  $f_\lambda^2\left(\frac{7}{12}\right) \geq \frac{7}{12}$   
 $\Leftrightarrow f_\lambda^2\left(\frac{1}{4}\right) \geq \frac{7}{12} \Leftrightarrow \frac{\lambda}{4} \geq \frac{7}{12} \Leftrightarrow \lambda \geq \frac{7}{3}$ .

Analogamente c'è un punto periodico di periodo minimo  $\geq$  in  $J_4$  se e solo se  
 $f_\lambda^2\left(\frac{11}{12}\right) \geq \frac{11}{12} \Leftrightarrow f_\lambda^2\left(\frac{1}{4}\right) \geq \frac{11}{12} \Leftrightarrow \frac{\lambda}{4} \geq \frac{11}{12} \Leftrightarrow \lambda \geq \frac{11}{3}$ .

(c)

Per  $\lambda=3$  il grafico di  $f_\lambda$  è



Si osserva che  $f_3(J_4) = J_2 \cup J_2 \cup J_3$ , quindi se consideriamo il comportamento



enintotes di  $f_3$ , è equivalente restringere la mappa a  $I := J_2 \cup J_2 \cup J_3$ .

Su  $I$ ,  $f_3$  è una mappa monotona e tratti con rami completi (ovvero  $f(J_i) = I \forall i$ ), quindi:  $h_{\text{top}}(f_3) = \log 3$ .